

بررسی (فساسی) توالی‌ها و میکروfasیس محیط‌های رسوب‌گذاری سازند شمشک (شمال غرب شاهرود) منطقه‌ی طزره^۱

پرستو صفائی عمرآبادی^{۱*}، همیم مهاری^۲ و عبدالرضا معفریان^۳

۱) دانشگاه آزاد اسلامی واحد دماوند p_safaei@yahoo.com

۲) دانشگاه آزاد اسلامی واحد تبریز

۳) دانشگاه آزاد اسلامی واحد شهرورد

* عهده‌دار مکاتبات

تاریخ دریافت: ۸۹/۳/۳؛ تاریخ دریافت اصلاح شده: ۸۹/۳/۲۹؛ تاریخ پذیرش: ۸۹/۳/۳۰

پنجه‌های

سازند شمشک با سن ژوراسیک، واحد سنگ چینه‌ای آواری ضخیمی است که در منطقه‌ی البرز نهشته شده است. در این مقاله رخساره‌ها و محیط رسوب‌گذاری این سازند در منطقه‌ی البرز شرقی- طزره به ضخامت ۱۰۲۸ متر و با سن لیاس (ژوراسیک پائینی) مورد بررسی قرار گرفت. مطالعه‌ی میکروسکوپی ۵۰ نمونه‌ی برداشت شده از لیتو fasیس‌های این منطقه منجر به تشخیص ۶ دسته رخساره‌ای و زیررخساره‌های آن در دو محیط رودخانه‌ی ماندری (محیط خشکی) تا محیط دلتا (محیط حد واسط) گردید. همچنین تغییرات عمودی میکروfasیس‌ها و منحنی‌ها بیانگر وجود سکانس رسوبی با ۱۸ چرخه پیشروی و ۱۹ چرخه پسروی در اثر عوامل اتوسیکلی در منطقه می‌باشد. در نتیجه محیط رسوب‌گذاری سازند شمشک یک پیشروی تدریجی به سمت دریا می‌باشد. مطالعات وجود توالی‌ها و تکرار لایه‌های ضخیم ماسه سنگ، شیل، ماسه شیلی، ماسه ذغالی، سیلت، شیل ذغالی و ذغال را نشان داد.

واژه‌های کلیدی: سازند شمشک، ژوراسیک پائینی (لیاس)، انتهای رودخانه‌ای، دلتا.

۱- مقدمه

تریاس قرار گرفته است که لایه‌ی شاخص آن یک افق بوکسیتی و لایه‌ی قرمز رنگ می‌باشد (تصویر ۲). این سازند به دلیل قابلیت معدنی، دارا بودن ذغال و ارزش اقتصادی از دیرباز مورد توجه زمین‌شناسان ایرانی و روسی قرارداشته و مطالعاتی در خصوص ذخایر ذغالی، زمین ساختی، رسوب‌شناسی و زمین‌شناسی در منطقه انجام پذیرفته است (Seyed-Emami et al. 2006).

اولین در سال ۱۹۶۶ سازند شمشک را به چهار بخش عمده‌ی ماسه سنگ زیرین، ذغالدار زیرین، ماسه سنگ بالائی و ذغالدار بالائی تفییم نمود و تحقیقات خود را بر روی سنگ‌های بالای روته در قسمت شرق معدن طزره به اتمام رساند (Assereto et al. 1968).

برنارد در سال ۱۹۶۵ و ۱۹۶۷ فسیل‌های گیاهی سازند شمشک در بالای جاجروم و البرز را مطالعه و تعیین سن نمود (Barnard 1965, Barnard 1967). و همچنین اشتوکلین و همکاران در سال

منطقه‌ی مورد مطالعه (طرزه) واقع در حوزه‌ی البرز شرقی، در زمان رسوب‌گذاری بخشی از اورازیا بوده است (Sussli 1976). کل ضخامت سازند شمشک در این حوزه‌ی ذغالی حدود ۳۹۰۰ متر گزارش (ضیائی ۱۳۶۵) و از شرق به غرب به مناطق رزمجا، کلاریز و پشکلات تقسیم شده است. طزره در طول جغرافیائی ۵۴° تا ۲۸° شرقی و عرض جغرافیائی ۳۶° تا ۴۰° شمالی (تصویر ۱) در ۴۰ کیلومتری دامغان قرار دارد (سرلک ۱۳۸۲).

ساختمان زمین‌شناسی منطقه به صورت مونوکلینیال و از نظر تکتونیکی دارای گسل‌های نرمال می‌باشد. طزره قسمت جنوبی از یال سنکلینیال میناب است که این ناویدیس جزئی از چین خورده‌ی البرز می‌باشد (شاپسته ۱۳۶۰).

نهشته‌های شمشک به صورت دیسکانفورمیتی بر روی آهک‌های

بیشتر با آثار ذغالی و معادن مهم همراه می‌باشد. لیتوژوئی این رخساره‌ها در البرز، متشكل از ماسه سنگ، سیلت استون، شیل و تناب لایه‌های ذغالی می‌باشد. با اینکه رخساره‌های لیاس از نوع قاره‌ای بوده، در لیاس بالائی و ژوراسیک میانی، این رخساره‌ها، به رخساره‌های دریائی تبدیل می‌شوند (آقاباتی ۱۳۷۷). سازند شمشک واقع در نواحی البرز سمنان، به سه بخش پانیتی (طرزه)، میانی (شهمیرزاد) و بالائی (دیکناش) تقسیم می‌شوند که در بخش طرزه، پشکلات منطقه‌ی مورد نظر می‌باشد (نبوی ۱۳۷۴).

رسوبات تریاس بالا- ژوراسیک میانی در ایران مرکزی سازند نایبند نامیده می‌شوند که قابل قیاس با سازند جواهر ده در البرز شمالی و سازند کشف رود در کوه داغ (فائد لایه‌های ذغالی) هستند که تمامی این رسوبات مربوط به پسروی دریا می‌باشند (Assereto et al. 1968).

۳- شرح رخساره‌های آواری سازند شمشک

مطالعه و بررسی نمونه‌های میکروسکوپی و تجزیه و تحلیل رخساره‌ها بر اساس درصد دانه‌ها، میزان ماتریکس، بافت و رنگ رسوبات منجر به تقسیم‌بندی آن‌ها در ۷ دسته رخساره‌ای و ۲ محیط رسوب‌گذاری گردید.

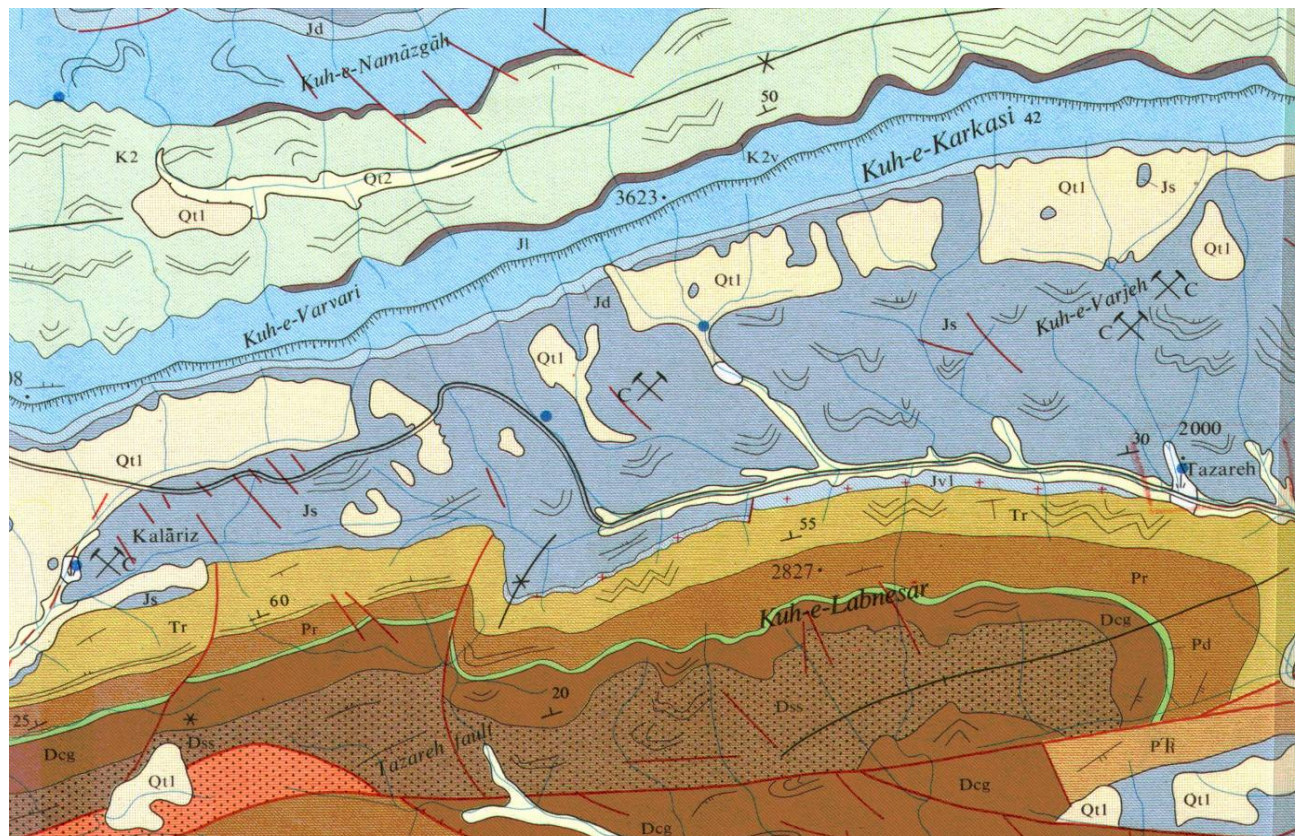
روی رسوبات این سازند، واعض-جوادی در سال ۲۰۱۰ و راد در سال ۱۹۸۲ در خصوص محیط‌های رسوبی آن تحقیقات خود را به انجام رساندند (Stöcklin et al. 1965, Stöcklin 1974, Rad 1982, Vaez-Javadi 2010).

هدف از این تحقیق، بررسی میکروfasیس، تشخیص محیط رسوبی و ارتباط دادن ضخامت و تکرار لایه‌ها با آن می‌باشد. جهت دستیابی به این امر مشاهدات صحرائی، برداشت از لایه‌ها، مطالعات آزمایشگاهی و طبقه‌بندی به روش فولک و پتی جان انجام پذیرفت، که در نهایت منجر به تشخیص محیط رسوبی و طبقه‌بندی fasیس‌ها در سن ژوراسیک (لیاس) شد.

۴- مینه‌شناسی و توصیف لیتوژوئی برش‌های مورد مطالعه

رسوب‌های آواری- دریائی و ذغالدار تریاس بالا- ژوراسیک میانی پس از رخداد تکتونیکی سیمیرین پیشین بر جای گذاشته شدند و در همه جا حد پانیتی آن‌ها با سنگ‌های پیتر از نوع دگرگشیبی با افق‌های لاتریتی و بوکسیتی و گدازه‌های آتش‌شانی مشخص می‌شوند (درویش زاده ۱۳۸۲).

رسوبات لیاس در البرز شامل رخساره‌های حاشیه‌ای، قاره‌ای و مردابی می‌باشد که این رسوبات در ایران مرکزی، البرز مرکزی و شرقی



تصویر ۱- نقشه‌ی زمین‌شناسی منطقه مورد مطالعه (اقتباس از نقشه زمین‌شناسی ۱/۲۵۰۰۰)

این گونه شیل‌ها نیازمند تجهیزات خاصی است، بررسی این رخساره تا این مقطع کافی به نظر می‌رسد.

۱۳-۱-۴- تفسیر محیط رسوبی مجموعه‌ی رخساره‌ای A

بررسی صحرایی و میکروسکوپی این مجموعه‌ی رخساره‌ای که شامل میکروکنگلومرا، ماسه سنگ و شیل می‌باشد، نشان دهنده محیط قسمت انتهای رودخانه‌ی ماندری و رسوبات کف رودخانه می‌باشد، که این رسوبات شامل ذرات درشت‌اند که به سمت بالا توسط رسوبات دانه ریزتر پوشیده می‌شوند. مرز این رسوبات با رسوبات زیرین به صورت فرسایشی - تخریبی می‌باشد. از دیگر ویژگی‌های این رسوبات که نشان دهنده مشخصات بارز این محیط است، نداشتن تغییرات جانی و ریزتر شدن دانه‌ها به سمت بالا به طور عمودی می‌باشد. از جمله ساختهای رسوبی در این محیط می‌توان به لایه‌بندی‌های متقاطع کوچک و بزرگ مقیاس و قلوه‌های گلی که از بخش دیواره‌ی رودخانه کنده شده و داخل رخساره‌ی ماسه سنگی ایجاد حفره کرده‌اند، اشاره کرد. (تصویر ۸).

۱۳-۲- مجموعه‌ی رخساره‌ای (فسساره‌ای B)

مجموعه‌ی رخساره‌ای B شامل رخساره‌های شیلی B1، ماسه سنگی B2 و ذغالی B3 می‌باشد. این مجموعه‌ی رخساره‌ای، پی در پی در طول ستون به صورت میان لایه‌ای تکرار شده است.

۱۳-۱-۱- رخساره‌ی شیلی B1

این رخساره در قسمت‌های پایین سازند به رنگ خاکستری تیره رسوب‌گذاری کرده، به سمت بالا درشت شونده و دارای لایه‌بندی سیار نازک می‌شود که البته در بعضی از قسمت‌های لایه‌بندی، به دلیل پدیده‌ی آشفتگی زیستی، فعالیت موجودات از بین می‌رود (تصویر ۹).

۱۳-۲- رخساره‌ی ماسه سنگی B2

این رخساره دارای ردیف‌هایی به سمت بالا درشت شونده، به همراه لایه‌بندی متوسط تا ضخیم بوده، که شامل ماسه سنگ‌های جورنشده و پرماتریکس است. رنگ این رخساره خاکستری سبز است و به زیر رخساره‌های B2-1، لیتیک وکی، B2-2، لیت آرنایت فلدسپات‌دار و B2-3. لیت آرنایت (سد آرنایت) تقسیم می‌شود.

۱۳-۱-۲-۱- زیر (فسساره‌ی B2-1، لیتیک وکی

این زیر رخساره به دلیل فراوانی دانه‌های گلی در تقسیم‌بندی کالک آرنایت‌ها به این نام خوانده می‌شود. دانه‌ها دارای جورشدگی متوسط،

۱۳-۱-۵- مجموعه‌ی (فسساره‌ای A

۱۳-۱-۱- رخساره‌ی کنگلومرائی A1

این رخساره شامل رسوبات میکروکنگلومرائی می‌باشد. فاسیس‌های این سازند در قسمت‌های پائینی از حلة پبل تا گرانول تغییر می‌کنند و در توالی به سمت بالا به ماسه سنگ درشت دانه تبدیل می‌شوند (به سمت بالا ریز شونده). این لایه، بر روی لایه‌های هوازده یا سطوح فرسایشی قرار گرفته است و دانه‌های آن به صورت نیمه زاویه‌دار تا نیمه گرد شده با دارای جورشدگی متوسط می‌باشند. این رخساره گسترش جانبی زیادی نداشته و به طور عمودی به رخساره‌ی ماسه سنگی تبدیل می‌شود.

۱۳-۱-۲- رخساره‌ی ماسه سنگی A2

این رخساره دارای لایه‌بندی ضخیم تا نازک می‌باشد و در قسمت میانی ذرات به سمت بالا ریز شونده هستند. رنگ این رخساره، قرمز تا ارغوانی و خاکستری و دانه‌های آن دارای جورشدگی متوسط به همراه انکریکس می‌باشند. زیر رخساره‌های این رخساره A2-1، ساب A2-2، لیت آرنایت و A2-3، لیت آرنایت می‌باشند.

۱۳-۱-۲-۱- زیر (فسساره‌ی A2-1، ساب لیت آرنایت

دانه‌های آواری این زیر رخساره در حد ماسه ریز تا متوسط با جورشدگی ضعیف و نیمه زاویه‌دار می‌باشند. در این زیر رخساره دانه‌های کوارتز به صورت خاموشی مستقیم دیده می‌شوند، سیمان اطراف دانه‌ها هماتیتی و آغشته‌گی به آهن در آن‌ها دیده می‌شود. نسبت دانه‌ها در این زیر رخساره به ترتیب حدود ۶۵ درصد کوارتز، ۲۰ درصد فلدسپات، ۱۰ درصد خردشنسنگ و ۵ درصد کانی‌های تیره می‌باشد (تصویر ۶).

۱۳-۱-۲-۲- زیر (فسساره‌ی A2-2، لیت آرنایت

دانه‌های اصلی تشکیل دهنده این زیر رخساره در حد ماسه ریز تا درشت و به صورت زاویه‌دار تا نیمه گرد شده می‌باشند و در آن سیمان، هماتیتی و حاشیه‌ای سیلیسی می‌باشد. همچنین دانه‌ها دارای خاموشی موجی و رسیدگی بافتی مچور هستند. نسبت دانه‌ها در این زیر رخساره شامل ۴۸ درصد کوارتز، ۲۳ درصد سیمان، ۲۰ درصد خردشنسنگ، ۵ درصد فلدسپات هوازده و ۴ درصد کانی‌های تیره به همراه خردشنسنگ فیلیت می‌باشد (تصویر ۷).

۱۳-۱-۳- رخساره‌ی شیلی و کل سنگ A3

در این رخساره، شیل با ضخامت زیاد، به رنگ تیره، حاوی مواد آلی، به همراه تورق و هوازدگی زیاد دیده می‌شود. از آن جانی که



تصویر ۳- ماسه‌سنگ به همراه میانلایه‌های ذغالی در قسمت پایین سازند



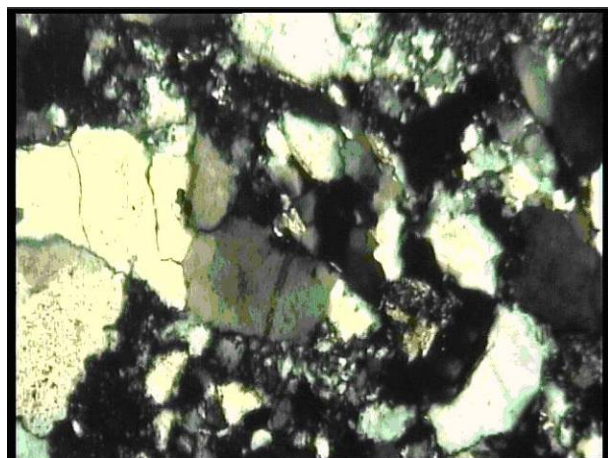
تصویر ۲- مرز ترباس و ژوراسیک افق بوکسیت و لاتریت



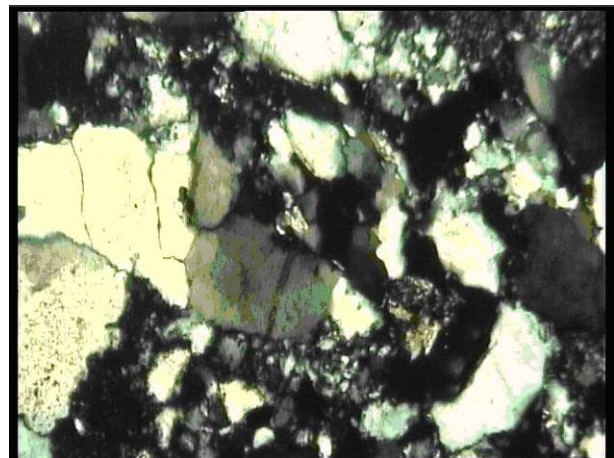
تصویر ۵- ماسه‌های شیلی با تورق شدید



تصویر ۴- آثار کراس لامینیشن در ماسه‌های سیلتی



تصویر ۷- زیر رخساره‌ی لیت آرنایت



تصویر ۶- زیر رخساره ساب لیت آرنایت

۳-۲-۲- زید (فساساره‌ی 2-B2)، لیت آرنایت فلدسپات‌دار

دانه‌ها در این زیر رخساره به ترتیب ۴۰ درصد خرد سنگ، ۱۰ درصد فلدسپات هوازده و حدود ۵۰ درصد کوارتز می‌باشد (تصویر ۱۱).

به صورت گرد شده، دارای تخلخل زیاد، سیمان هماتیتی و ماتریکس زیاد می‌باشد. نسبت دانه‌های این زیر رخساره ۶۰ درصد خرد سنگ (گل+کربناته) و ۴۰ درصد کوارتز می‌باشد (تصویر ۱۰).

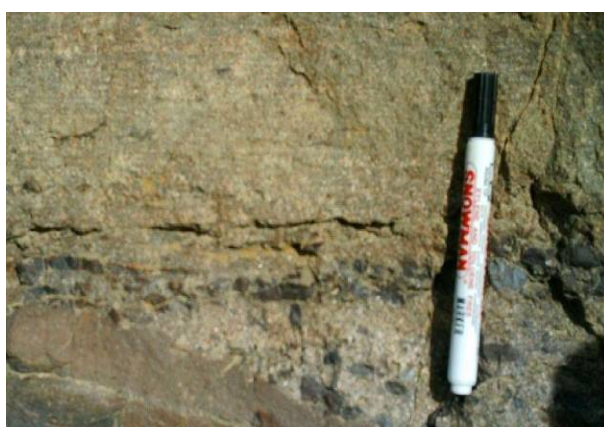
درصد خردۀ سنگ و ۱۰ درصد فلدوپات می‌باشد (تصویر ۱۵).

۳-۲-۴-۳- زیر رخساره‌ی ۳- B2- لیت آرنیت (سد آرنیت)

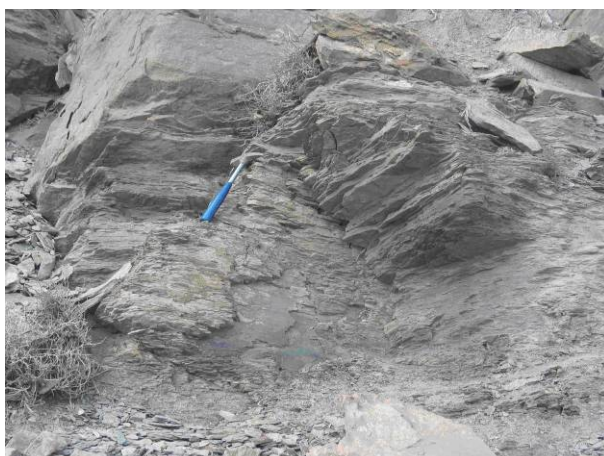
این fasیس‌ها مربوط به محیط کانال یا همان بدنه‌ی دلتا در محیط دلتا می‌باشند که ذرات آن دارای جورشدگی خوب و درستون لیتوژئی به طرف بالا، تقریباً یک اندازه و یکنواخت می‌باشند و روی آن‌ها به‌وسیله‌ی شیل‌های ذغال‌دار پوشیده شده است. در قاعده‌ی این کانال‌ها فرسایش و همچنین ساختهای نظیر ریپل مارک جریانی و کراس بدینگ مشاهده می‌شود. به علت سرعت بالای رسوب‌گذاری در کانال‌های دلتا، آن‌ها به سرعت متراوک شده و به‌وسیله‌ی رسوبات پر می‌شوند و به صورت جانی تغییر مکان می‌دهند (تصویر ۱۶).

۳-۲-۴-۴- مجموعه‌ی رخساره‌ای D

این مجموعه شامل D1، رخساره‌ی سیلستون و رس و D2 رخساره‌ی کربناته‌ی میکرواسپاریت فسیل‌دار می‌باشد. این رخساره در نواحی آرام با انژی کم تشکیل شده و کمتر تحت تأثیر فرآیندهای حوزه قرار می‌گیرد.



تصویر ۸- نازک لایه‌ی کنگلومرائی در قاعده نشان دهنده رسوبات داخل کanal



تصویر ۹- رخساره‌ی شیلی

این زیر رخساره متشکل از ماسه ریز تا درشت به رنگ خاکستری روشن و تیره می‌باشد. در این زیر رخساره کوارتز به همراه خردۀ سنگ‌هایی از نوع چرت و آهک دیده می‌شود، دانه‌ها دارای جورشدگی بد و زاویه‌دار و به سمت بالا درشت شونده می‌باشند و سیمان از نوع کلسیتی به همراه قطعات آهک می‌باشد. درصد توضیع دانه‌ها به صورت ۶۷ درصد کوارتز، ۲۶ درصد خردۀ سنگ و ۷ درصد فلدوپات و کانی‌های تیره است (تصویر ۱۲).

۳-۲-۴-۵- تفسیر محیط رسوبی مجموعه‌ی رخساره‌ای

ساختهای لایه‌بندی تیغه‌ای در طبقات ماسه‌ای، وجود ریشه‌ی کیاهان و عدسی‌ها و رگه‌های ذغالی، رسوبات به سمت بالا درشت‌شو و ضخیم‌شو و گاهی ردیف‌هایی به سمت بالا ریزش‌پی در طور پی در این منطقه حاکی از محیط دلتایی تحت نفوذ رودخانه است که دارای فاسیس داخل آب و خارج آب می‌باشد. لذا با در نظر داشتن زیر رخساره‌ی این مجموعه، مجموعه‌ی رخساره‌ای B، دلتا خارج از آب (دشت دلتا) می‌باشد (تصویر ۱۳).

۳-۲-۵- مجموعه‌ی رخساره‌ای C

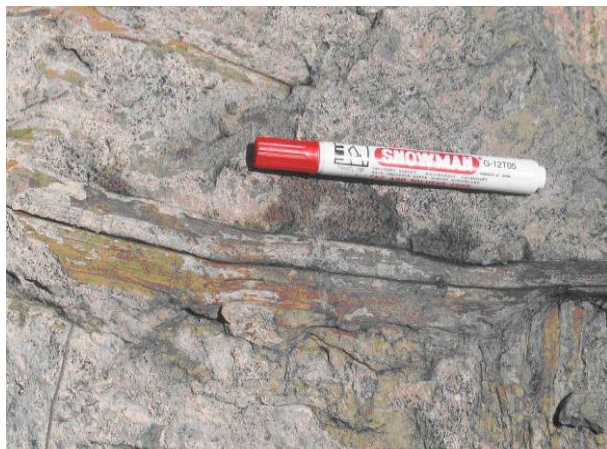
این رخساره شامل ماسه سنگ‌های جورشدۀ و گرد شده بدون ماتریکس می‌باشد. ماسه سنگ‌های این رخساره به طرف بالا یکنواخت و در بعضی جاهای ریزشونده است. زیر رخساره‌های این مجموعه شامل C1-1، ساب آرکوز و C1-2، لیتارنایت می‌باشد.

۳-۲-۶- زیر رخساره‌ی ۱، C1-1، ساب آرکوز

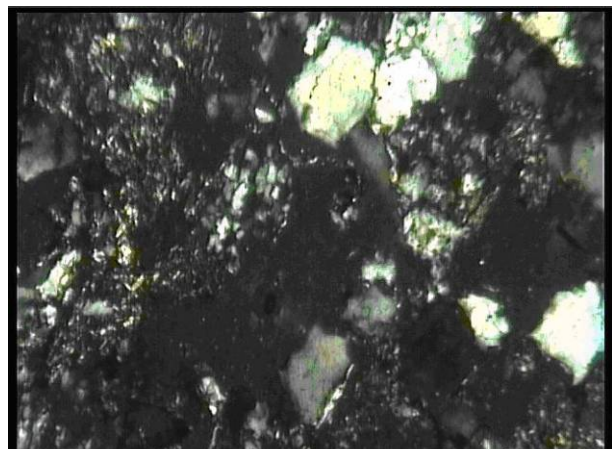
اندازه‌ی ذرات تشکیل دهنده‌ی این زیر رخساره در حد ماسه ریز تا متوسط دانه بوده، درصد ذرات خردۀ سنگ نسبت به فلدوپات بیشتر و فلدوپات‌ها از نوع پلازوکلاز می‌باشند. سیمان سیلیسی در اطراف دانه‌های کوارتز به صورت حاشیه‌ای و دانه‌ها غالباً نیمه زاویه‌دار تا نیم-گرد شده همراه با رسیدگی بافتی و کانی‌شناسی است. در این زیر رخساره جورشدگی از متوسط تا خوب تغییر می‌کند. میانگین اجزاء تشکیل دهنده شامل کوارتز ۷۴ درصد، فلدوپات ۱۸ درصد، خردۀ سنگ‌ها ۷ درصد و کانی‌های تیره ۱ درصد می‌باشد (تصویر ۱۴).

۳-۲-۷- زیر رخساره‌ی ۲، C1-2، لیتارنایت

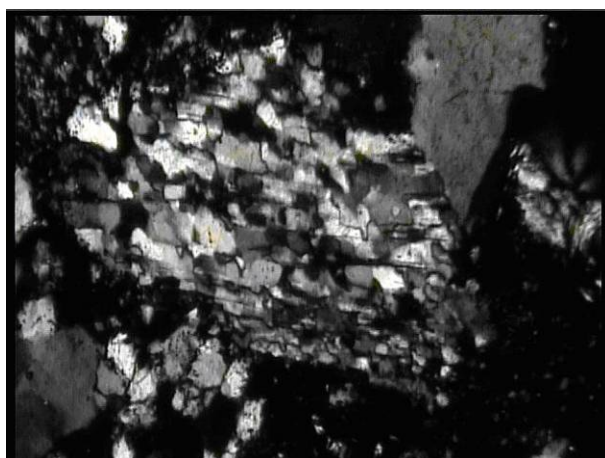
در این زیر رخساره ذرات درشت، دارای جورشدگی بد، به صورت متراکم و نیمه زاویه‌دار تا زاویه‌دار می‌باشند. سیمان از نوع کلسیتی و به ندرت آهن داراست. درصد اجزا به صورت ۶۰ درصد کوارتز، ۳۰



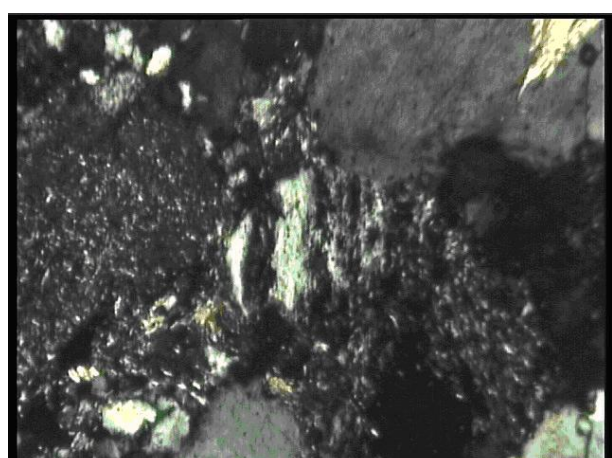
تصویر ۱۳- آثار ریشه‌ی گیاهان در رسوبات دشت دلتا



تصویر ۱۰- زیر رخساره‌ی لیتیک وکی در پهنه‌ی دلتائی



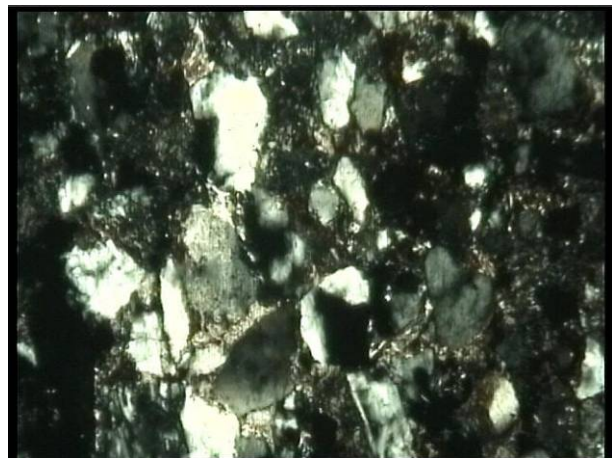
تصویر ۱۴- زیر رخساره‌ی ساب آرکوز



تصویر ۱۱- رخساره فلدسپات‌دار



تصویر ۱۵- زیر رخساره‌ی لیت آرناتیت محیط داخل کانال



تصویر ۱۲- زیر رخساره‌ی لیت آرناتیت محیط دلتائی

چند دهم و سیلیس با رشد توأم در ابعاد کریپتو یا میکروکریستالی می-باشد. کانی‌های سریست و مسکویت به شکل پراکنده و لایه‌های نازک سیلتسنون به همراه آشفتگی‌های زیستی به صورت فراوان در این رخساره موجود می‌باشد (تصویر ۱۷).

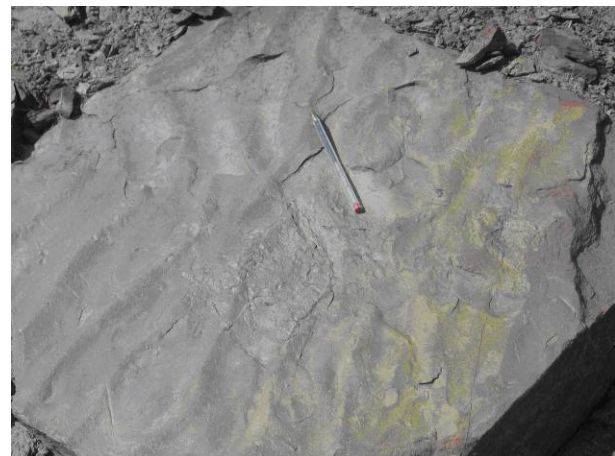
۱۳-۱۴- رخساره‌ی سیلتسنون و رس D1

این رخساره در هر اندازه قابل نمونه‌برداری است و قطعات شکسته‌ی آن دارای لبه‌ی تیز و مورفولوژی خشن می‌باشد. این رخساره دارای بافقی ریز، کانی‌هایی با ترکیب اکسید آهن در ابعاد

ماسه سنگ‌های جورشده‌ی ماتریکس دار است. زیر رخساره‌های این مجموعه E1-1، لیتارنایت و E1-2، لیتیک فلدوپات‌دار می‌باشد.

۱۳-۵-۱- زیر(فساره) E1-1، لیتارنایت

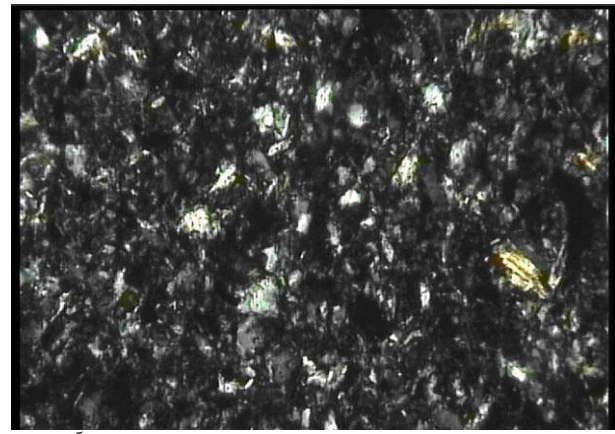
در این زیر رخساره سیمان از نوع آهکی، دانه‌های ماسه با جورشده‌گی خوب، نیمه گردشده تا نیمه زاویده دار و دانه‌ها دارای اتصال می‌باشد. خرد سنگ‌های این نوع ماسه سنگ از نوع چرت و سنگ آهک هستند که به‌سمت بالا ریز شونده و دارای دانه‌بندی تدریجی می‌باشدند (تصویر ۱۸).



تصویر ۱۶ - آثار ریل مارک نامتقارن در ماسه سنگ‌ها

۱۳-۵-۲- زیر(فساره) E1-2، لیتیک فلدوپات‌دار

در این نوع ماسه سنگ، سیمان آهن دار ظاهر می‌شود، جورشده‌گی در حد ساب مچور، دانه‌ها متراکم و فشرده و ذرات به صورت نیمه گردشده به همراه کانی کلرید می‌باشدند. ذرات به صورت ۶۰ درصد کوارتز، ۲۰ درصد فلدوپات هوا زده و ۲۰ درصد خرد سنگ تقسیم بندی می‌شوند.



تصویر ۱۷ - رخساره‌ی سیلیستون ریز بلور با ترکیب اکسید آهن

۱۳-۵-۳- تفسیر محیط رسوبی E

این فاسیس‌ها نشان دهنده‌ی محیط رسوبی انتهای کانال در قسمت جلوی دلتا می‌باشند که به همراه ساخته‌های رسوبی نظیر کنکرسیون و ندول است. رسوبات به طرف بالا به سیلت و رس ختم می‌شوند که این مشخصات مختص محیط زیرآب است که در آن هر چقدر به‌سمت دریا پیش می‌رویم اندازه‌ی ذرات ریزتر می‌شوند که مؤید کاهش انرژی در مسیر حرکت آب به طرف حوزه می‌باشد. از عوامل مؤثر رسوب-گذاری در این محیط، اختلاف چگالی بین آب رودخانه و آب دریا می‌باشد. در این محیط تکه‌های چوب، تنه و ساقه‌ی درختان نیز مشاهده می‌شود.

۱۳-۴-۱- رخساره‌ی کربناته‌ی میکرواسپاریت فسیل‌دار D2

در این رخساره قطعات آلومکمی و ارتوکم‌ها با آغشتگی اکسید آهن موجود می‌باشند و در بعضی نقاط سیلیس جاشین کربنات‌ها شده است. گل‌های آهکی در مرداب‌های آرام به‌سمت دریا، رسوب‌گذاری می‌کنند که افزایش تلاطم در سمت دریا منجر به کاهش مقدار میکرایت و افزایش فابریک با دانه‌ی فراوان و اسپاریت می‌شود.

۱۳-۴-۲- تفسیر محیط رسوبی D

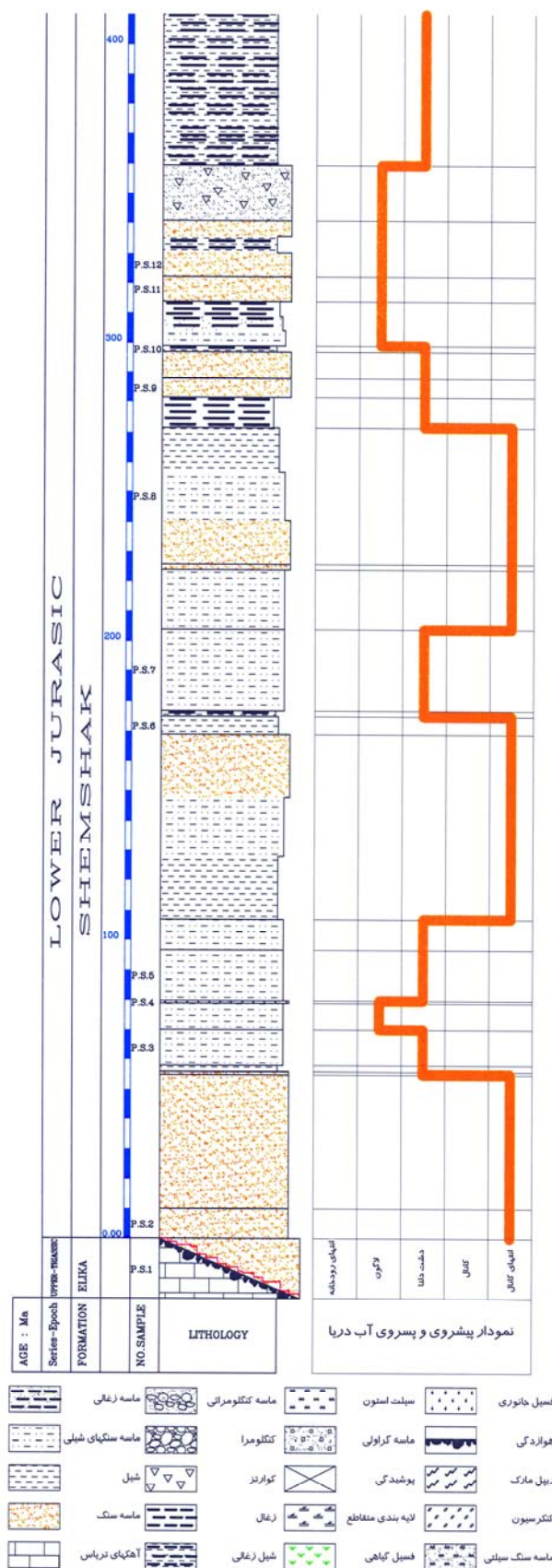
رخساره‌های بررسی شده نشان دهنده‌ی محیط آرام و کم انرژی لagon می‌باشد. فاسیس‌های این محیط با رسوبات ریز رس و سیلت که به صورت لامیناسیون‌های موازی و افقی با آثار بهم ریختگی توسطه موجودات می‌باشند و به سمت بالا ریز شونده هستند، مشخص می‌شوند. لagon هم عرض دلتا بوده و در جایی تشکیل می‌شود که دلتا به دریا راه نمی‌یابد.

۱۳-۶- شروع و تفسیر مجموعه‌ی (فساره) F

ذغال‌های منطقه، هموزن نبوده بلکه به صورت متناوب و دارای ساختمان نواری می‌باشدند. چهار نوع ذغال اصلی شناخته شده در این رخساره: ویترین، کلارین برآق، فوزون و دورن مات می‌باشد. در این منطقه رخساره‌ی ذغالی با میان لایه‌های شیلی و سیلتی همراه است. در مقاطع میکروسکوپی ذغال‌ها به صورت لکه‌های تیره و سیاه رنگ مشخص می‌شوند. این رخساره به صورت عدسی‌ها و رگه‌هایی در محیط نواحی بین کانال‌ها (lagons) و دشت دلتا، به همراه فسیل‌های گیاهی تشکیل می‌شود.

۱۳-۵- مجموعه‌ی (فساره) E

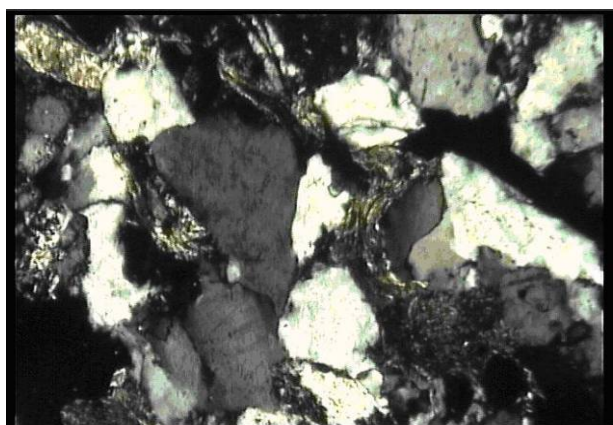
این مجموعه شامل رخساره‌ی ماسه سنگی E1 می‌باشد که دارای



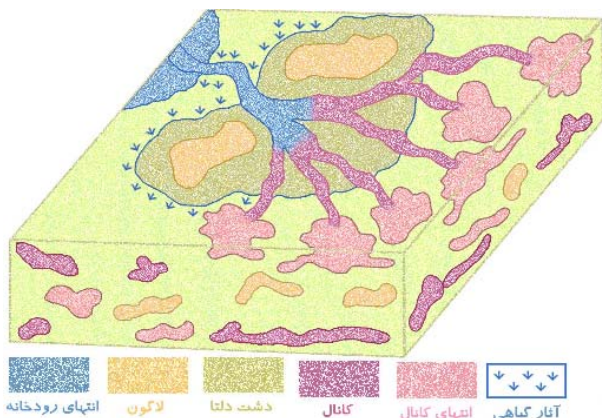
تصویر ۱-۱۹- ستون لیتولوژی و ستون پیش روی و پسروی

۴- تغییرات عمودی و مدل محیط (رسوبی) (خساره‌های آواره)

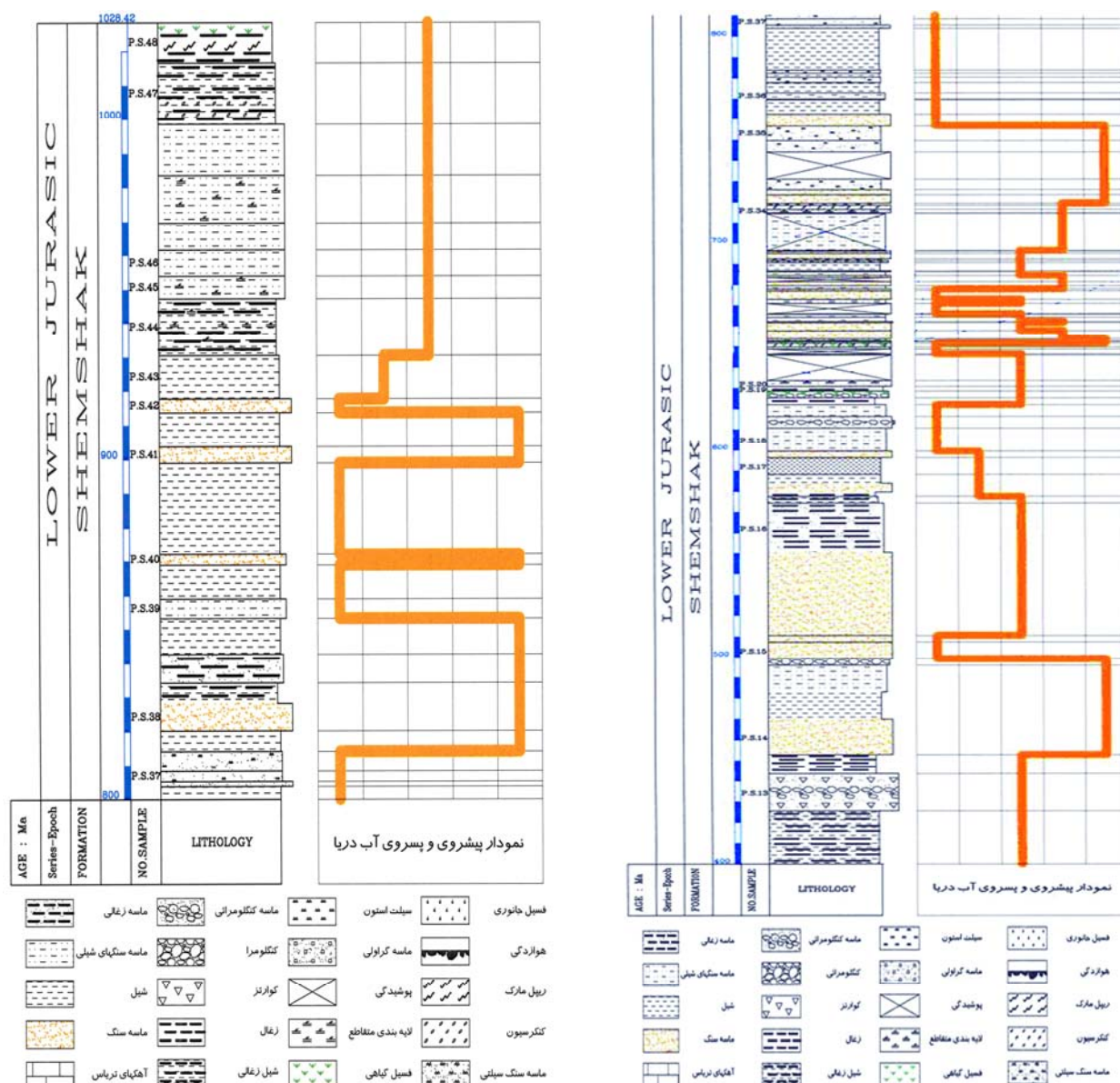
پس از بررسی‌های صحراوی و مطالعات آزمایشگاهی مقاطع نازک، مجموعه‌ها و زیر مجموعه‌های مشخص شده و تکرار و توالی این ردیف‌ها، ستون پسروی و پیش روی (تصویر ۱۹) بیانگر این می‌باشد که در زمان تشکیل، محیط‌ها کنارهم نهشته شده‌اند و جابجایی این محیط‌ها بر روی هم این ردیف‌ها را ایجاد کرده است (قانون والتر). مدلی که برای این محیط در نظرگرفته شده مشابهی با دلتاهای قدیمی داشته و مربوط به دلتاهای در حال تشکیل تحت نفوذ فرآیند رویدخانه‌ای می‌باشد که به لحاظ توزیع فاسیس‌ها و زیر رخساره‌های ماسه سنگی و ارتباط این توالی‌ها با یکدیگر با مدل رسوبی مشابه آن در ایران، سازند شمشک- منطقه‌ی امامزاده هاشم (شفیعی ۱۳۶۰)، و در خارج از ایران رود می‌سی‌سی‌پی قابل قیاس می‌باشد. با توجه به کلیه‌ی موارد فوق مدل رسوبی ارائه شده براساس تصویر ۲۰ می‌باشد.



تصویر ۱۸- ماسه سنگ‌ها در انتهای کانال



تصویر ۲۰- بلوك دیاگرام محیط رسوبی سازند شمشک



تصویر ۲-۱۹-۳- ستون لیتولوژی و ستون پیشروی و پسروری

تصویر ۲-۱۹-۲- ستون لیتولوژی و ستون پیشروی و پسروری

دهنده‌ی تبدیل محیط رودخانه‌ای به دلتایی دیده می‌شود، که فاسیس‌های این محیط شامل دو زیر محیط زیر آب (کانال و انتهای کانال) و خارج از آب (بدنه‌ی دلتا، دشت دلتا و لاگون) می‌باشد. مشخصه‌ای نظیر ذرات به سمت بالا درشت شونده و در بعضی از قسمت‌ها ریز شونده (لایه‌های شیلی و سیلی) مؤید دلتائی بودن محیط در خط ساحلی می‌باشد.

-۳- توالی رسوبی سازنده‌ی شمشک در طزره یک پیشروی تدریجی است که با رسوبات رودخانه‌ای شروع شده و به رسوبات دلتایی حدوداً واسط ختم می‌گردد. فسیل‌های گیاهی شامل خرد برگ‌ها، تنه و اثر ریشه‌ی درختان به همراه رگه‌های اقتصادی ذغال در منطقه‌ی طزره در این محیط مشاهده می‌شوند.

۵- تئیم‌گیری

۱- فاسیس‌های سازنده‌ی شمشک در منطقه‌ی طزره، واحد آواری-تخربی است که پس از حرکت کوه‌زایی و پسروری دریا در تریاس و فاز کششی در قاعده‌ی لیاس (ستون پیشروی و پسروری)، با ظهور محیط رودخانه‌ای شروع شده و تا انتهای لیاس به محیط حد واسط دلتایی ختم می‌شود.

۲- رخساره‌های تشکیل شده در محیط رودخانه‌ای ماندگاری شامل انتهای رودخانه با جهت جریان جنوب شرق - شمال غرب می‌باشد. رخساره‌های این محیط از کنگلومرا شروع شده و به ماسه سنگ‌هایی از نوع لیتراتنایت، سیلتسنون و شیل ختم می‌شود (به سمت بالا ریز شونده). به سمت بالا تغییرات لیتولوژی در ستون چینه‌شناسی نشان

مراجع

- Sussli, P. E., 1976,** "The geology of the lower Haraz valley area, Central Alborz, Iran", *Geological Survey of Iran, Rep.* 38: 36-87.
- Vaez-Javadi, F., 2010,** "Middle Jurassic flora from the Dansirit Formation of the Shemshak Group, Alborz, north Iran", *Alcheringa: An Australasian Journal of Palaeontology, First Published on: 24 September 2010 (iFirst)*.
- آقاباتی، ع.، ۱۳۷۷، "چینه‌شناسی ژوراسیک ایران"، سازمان زمین‌شناسی کشور، ج ۱، شماره ۷۵، ۳۶۵ ص.
- آقاباتی، ع.، ۱۳۷۷، "چینه‌شناسی ژوراسیک ایران"، سازمان زمین‌شناسی کشور، ج ۲، شماره ۷۵، ۳۱۱ ص.
- درویش‌زاده، ع.، ۱۳۸۲، "زمین‌شناسی ایران"، انتشارات امیرکبیر، ۹۰۲ ص.
- سرلک، م.، ۱۳۸۲، "بررسی رفتار سنگ در استخراج معدن طزره"، پایان‌نامه کارشناسی ارشد، دانشگاه صنعتی شاهrood، ۳۲۲ ص.
- شاپیسته، ت.، ۱۳۶۰، "رسوب‌شناسی حوزه‌ی ذغالدار طزره"، سمینار رسوب‌شناسی، شرکت ذغالسنگ طزره: ۲۰-۲۴.
- شفیعی، آ.، ۱۳۶۰، "بررسی رخساره‌ها و سکانس‌های رسوبی سازند شمشک (امام‌زاده هاشم)", پایان‌نامه کارشناسی ارشد، دانشگاه تربیت معلم، ۲۷۰ ص.
- رضیائی، ح.، ۱۳۶۵، "بررسی و مطالعه رخساره‌های لیتوژیکی رسوبات ذغالدار البرز"، شرکت ذغالسنگ طزره: ۳-۶.
- نبوی، م.، ۱۳۷۴، "چینه‌شناسی و پالئوژوگرافی سنگ‌های ژوراسیک در ایران"، انتشارات دانشگاه تهران، ۲۰۰ ص.
- Assereto, R., Barnard, P. D. W. & Fantini Sestini, N., 1968,** "Jurassic stratigraphy of Central Elburz (Iran)", *Rivista Italiana di Paleontologia e Stratigrafica, Milano, Vol. 74 (1): 3-21.*
- Barnard, P. D. W., 1965,** "The geology of the upper Djadjerud and Lar valleys (North Iran), II. Paleontology, flora of the Shemshak Formation, Part 1, Liassic plants from Dorud", *Rivista Italiana di Paleontologia e Stratigrafica, Milano, Vol. 71 (4): 1123-1168.*
- Barnard, P. D. W., 1967,** "The geology of the upper Djadjerud and Lar valleys (North Iran), II. Paleontology, Flora of the Shemshak Formation, Part 2, Liassic plants from Shemshak and Ashtar", *Rivista Italiana di Paleontologia e Stratigrafica, Milano, Vol. 73 (2): 539-588.*
- Rad, F. K., 1982,** "Hydrocarbon potential of the eastern Alborz region, NE Iran", *Journal of Petroleum Geology, Vol. 4 (4): 419-435.*
- Seyed-Emami, K., Fürsich, F.T., Wilmsen, M., Cecca, F., Majidifard, M.R., Schairer, G. & Shekarifard, A., 2006,** "Stratigraphy and ammonite fauna of the upper Shemshak Formation (Toarcian-Aalenian) at Tazareh, eastern Alborz, Iran", *Journal of Asian Earth Sciences, Vol. 28 (4-6): 259-275.*
- Stöcklin, J., Eftekhar-Nezhad, J. & Hushmand-zadeh, A., 1965,** "Geology of the Shotori Range (Tabas area, East Iran)", *Geological Survey of Iran, Rep. 3, 69 pp.*
- Stöcklin, J., 1974,** "Northern Iran: Alborz Mountains", In Spencer, A.M. (ed.), *Mesozoic-Cenozoic orogenic belts data for orogenic studies*, Alpine-Himalayan Orogens, Geological Society [London] Special Publication 4: 213-234